

А. А. ПОДОЛЬСКИЙ, В. И. ТУРУБАРОВ,
Е. И. ПОМИНОВ, Т. С. ГОЛЬДМАН

РАСЧЕТ ПОЛЯ СКОРОСТЕЙ ОБТЕКАНИЯ ВОКРУГ КОЛЕБЛЮЩЕЙСЯ СФЕРИЧЕСКОЙ АЭРОЗОЛЬНОЙ ЧАСТИЦЫ

Колебательное движение аэрозольных частиц весьма распространено в технологических процессах. Например, движение взвешенной частицы в звуковом поле, заряженной частицы в переменном электрическом поле подчиняется периодическому закону. Анализ движения частиц даже при малых числах Рейнольдса ($Re < 1$) представляет сложную задачу и включает находящиеся на частицу силы, действующей на частицу, параметров колебательного движения частицы и поля скоростей обтекания. Определение первых двух характеристик важно при анализе особенностей движения изолированной частицы, а третьей — при анализе взаимодействия частиц (например, в процессе коагуляции). В связи с тем, что во многих случаях взаимодействием частиц можно пренебречь, первому вопросу в литературе уделено значительно больше внимания. В [1] получены выражения для силы, действующей на сферическую частицу при малых числах Re , в случае неустановившегося движения в потоке с произвольным профилем скорости. Непосредственно для случая колебаний частиц в колеблющейся среде выражения для сил и параметров колебательного движения частицы при $Re \ll 1$ приведены в [2, 3], а при $Re \geq 0,5$ — в [4, 5]. В работе [2] показано, что при малых числах Рейнольдса в используемом в аэрозольной технике диапазоне частот (сотни герц — десятки кгц) для частиц размерами доли-единицы мкм влиянием нестационарных членов на величину параметров колебательного движения можно пренебречь и определять последние, считая действующую на частицы силу равной силе Стокса. Значительно сложнее обстоит дело с определением поля скоростей обтекания среды вокруг колеблющейся частицы. Почти во всех работах по исследованию взаимодействия колеблющихся частиц принято, что поле скоростей вокруг колеблющейся части-

цы описывается выражениями Стокса, при замене в них постоянной скорости среды U_0 на колебательную скорость $U_0 \sin \omega t$:

$$U_r = U_0 V_r \cdot \cos \Theta \cdot e^{-j\omega t} = \frac{1}{2} \left[3 \frac{R}{r} - \left(\frac{R}{r} \right)^3 \right] U_0 \cdot \cos \Theta \cdot e^{-j\omega t},$$

$$U_\theta = U_0 V_\theta \cdot \sin \Theta \cdot e^{-j\omega t} = \frac{1}{4} \left[3 \frac{R}{r} - \left(\frac{R}{r} \right)^3 \right] U_0 \cdot \sin \Theta \cdot e^{-j\omega t}.$$

Здесь R — радиус частицы; r — расстояние от центра частицы до точки наблюдения; Θ — угол между направлением на точку наблюдения и линией колебаний.

Использование выражений (1) означает, что в уравнении Навье—Стокса опущены нелинейный член $(U \nabla) U$ и нестационарный член $\frac{\partial u}{\partial t}$. Однако, если пренебрежение нелинейным характером обтекания при малых числах Рейнольдса оправдано, то учитывать нестационарность можно лишь при соблюдении условия $r^2 \omega \ll \nu$, где ν — кинематическая вязкость [6].

Целью настоящей статьи является определение поля скоростей обтекания вокруг колеблющейся частицы с учетом нестационарного характера движения. Для решения вопроса воспользуемся методикой анализа, изложенной в [7]. Линеаризованная система уравнений Навье—Стокса для возмущений малой амплитуды в вязкой жидкости имеет вид [8]:

$$\frac{\partial P}{\partial t} = -\rho_0 c^2 \operatorname{div} \vec{U};$$

$$\rho_0 \frac{\partial \vec{U}}{\partial t} = -\operatorname{grad} P + \eta \Delta \vec{U} + \left(\xi + \frac{\eta}{3} \right) \operatorname{grad} \operatorname{div} \vec{U},$$

где P — звуковое давление; ρ_0 — плотность невозмущенной среды; c — скорость звука в среде; η и ξ — первый и второй коэффициенты вязкости.

Решение системы (2) записывается в виде

$$\vec{U} = \operatorname{rot} \vec{\psi} + \operatorname{grad} \varphi,$$

где $\vec{\psi}$ — векторный потенциал поля рассеянных вязких волн, φ — потенциал поля рассеянных звуковых волн.

При исследовании рассеяния плоской звуковой волны на сферической частице в вязкой жидкости удобно представить потенциалы падающей (φ_0) и искомого рассеянных (φ , ψ) волн в виде разложения по сферическим функциям:

$$\varphi_0 = \varphi_r e^{-j\omega t} \sum_{m=0}^{\infty} (-j)^m (r \cdot m + 1) P_m(\Theta) j_m(k_l \cdot r),$$

$$\varphi = e^{-j\omega t} \sum_{m=0}^{\infty} a_m P_m(\Theta) h_m^{(1)}(k_l r),$$

$$\psi = e^{-j\omega t} \sum_{m=1}^{\infty} b_m P_{m,1}(\Theta) h_m^{(1)}(k_l r).$$

здесь $P_m(\Theta)$ — полином Лежандра порядка m ; $P_{m,1}(\Theta)$ — при-
 единенный полином Лежандра первого рода порядка m ; j_m —
 сферическая функция Бесселя; $h_{m,1}$ — сферическая функция Хан-
 деля первого рода; $\varphi_r = j \frac{U_0}{k_l}$; U_0 — амплитуда скорости падаю-
 ей звуковой волны; $k_l \approx \frac{\omega}{c}$; $k_l = k_{l0}(1+j)$; $k_{l0} = \sqrt{\frac{\omega}{2\nu}}$. Поставив
 (4) в (3) и произведя дифференцирование, найдем выражения
 для составляющих поля скоростей рассеянных волн:

$$U_r = e^{-j\omega t} \sum_{m=0}^{\infty} \left\{ -\frac{m(m+1)}{r} P_m(\Theta) b_m h_{m,1}(k_l r) + \right. \\ \left. + \frac{a_m k_l}{2m+1} P_m(\Theta) [m h_{m-1,1}(k_l r) - (m+1) h_{m+1,1}(k_l r)] \right\}, \quad (5)$$

$$U_{\Theta} = e^{-j\omega t} \sum_{m=1}^{\infty} P_{m,1}(\Theta) \left\{ \frac{a_m}{r} h_{m,1}(k_l r) - \right. \\ \left. - \frac{b_m k_l}{2m+1} [(m+1) h_{m-1,1}(k_l r) - m h_{m+1,1}(k_l r)] \right\}.$$

коэффициенты a_m и b_m определяются из граничных условий на
 поверхности сферы $(U_p + U)_r = 0$, $(U_p + U_{\Theta})_{\Theta} = 0$;

$$a_m = (-j)^m (2m+1) \varphi_r \frac{(2m^2+3m+1) j_{m+1}(k_l R) h_{m-1,1}(k_l R) + \rightarrow}{(2m^2+3m+1) h_{m+1,1}(k_l R) h_{m-1,1}(k_l R) + \rightarrow} + \rightarrow \\ \rightarrow + \frac{(2m^2+m) j_{m-1}(k_l R) h_{m+1,1}(k_l R)}{\rightarrow + (2m^2+m) h_{m-1,1}(k_l R) h_{m+1,1}(k_l R)} \quad m = 0, 1, 2, 3... \quad (6)$$

$$b_m = \frac{(-j)^m (2m+1)^2 k_l}{k_l} \cdot \varphi_r \cdot \frac{-j_{m+1}(k_l R) h_{m-1,1}(k_l R) + \rightarrow}{(2m^2+3m+1) h_{m+1,1}(k_l R) h_{m-1,1}(k_l R) + \rightarrow} + \rightarrow \\ \rightarrow + \frac{j_{m-1}(k_l R) h_{m+1,1}(k_l R)}{\rightarrow + (2m^2+m) h_{m-1,1}(k_l R) h_{m+1,1}(k_l R)}; \quad m = 0, 1, 2, 3...$$

Таблица 1

$f, \text{гц}$	100	500	1000	5000	10000	Примечание
$k_{0t}, \frac{1}{\text{м}}$	$4,75 \cdot 10^2$	$1,07 \cdot 10^4$	$1,5 \cdot 10^4$	$3,36 \cdot 10^4$	$4,75 \cdot 10^4$	$\nu = 1,4 \cdot 10^{-5} \frac{\text{м}^2}{\text{сек}}$ $c = 340 \text{ м/сек}$
$k_{0t} R \cdot 10^2$ $R = 1 \text{ м.к.м.}$	0,475	1,07	1,5	3,36	4,75	
$k_0 R \cdot 10^2$ $R = 10 \text{ м.к.м.}$	4,75	10,7	15	33,6	47,5	
$k_l, \frac{1}{\text{м}}$	1,85	9,25	18,5	92,5	185	
$k_l R \cdot 10^5$ $R = 1 \text{ м.к.м.}$	0,185	0,925	1,85	9,25	18,5	
$k_l R \cdot 10^5$ $R = 10 \text{ м.к.м.}$	1,85	9,25	18,5	92,5	185	

В интервале частот 100—10000 гц и диапазоне размеров част 1 — 10 мкм величины $k_l R$ и $k_{ot} R$ очень малы (см. таблицу). Разлагая сферические функции в степенные ряды, с учетом малости величин $k_l R$ и $k_{ot} R$ получим следующие приближенные выражения для коэффициентов a_m и b_m :

$$a_0 \simeq -j \frac{(k_l R)^3}{3} \varphi_r;$$

$$a_1 \simeq \frac{3}{2} (k_l R)^3 \varphi_r \left[\frac{1}{3} + \frac{1}{2k_{ot} R} + j \left(\frac{1}{2k_{ot} R} + \frac{1}{2(k_{ot} R)^2} \right) \right];$$

$$b_1 \simeq \frac{3}{2} k_l R \varphi_r \left\{ 1 + \frac{(k_l R)^2}{2} \left[\left(\frac{1}{2k_{ot} R} - 2 \right) + j \left(\frac{1}{2k_{ot} R} + \frac{1}{2(k_{ot} R)^2} \right) \right] \right\} \cdot e^{k_{ot} R(1-j)};$$

$$a_2 \simeq \frac{5}{9} \frac{(k_l R)^5}{k_{ot} R} \varphi_r \frac{1 + (k_{ot} R)^{-1} - j \left(1 + 0,8k_{ot} R + \frac{2}{15} (k_{ot} R)^2 \right)}{1 + k_{ot} R - jk_{ot} R};$$

$$b_2 \simeq \frac{5}{9} (k_l R)^2 \varphi_r \frac{k_{ot} R + jk_{ot} R}{j + k_{ot} R + jk_{ot} R} e^{k_{ot} R(1-j)}.$$

Выражения (5) в сочетании с (6) полностью определяют по скоростям обтекания вокруг частицы в звуковой волне.

Описанное выше решение справедливо в случае рассеяния звуковой волны на неподвижной сферической частице в вязкой жидкости. В [6] рассмотрен случай частицы, колеблющейся в подвижной на бесконечности среде, и показано, что поле скоростей вокруг колеблющегося шара при совмещении центра шара с началом системы координат определяется выражением

$$\vec{U} = e^{-j\omega t} \text{rot rot } f \cdot U_0,$$

функция f находится из дифференциального уравнения

$$\frac{df}{dr} = a \frac{e^{jk_l R}}{r^2} \left(r - \frac{1}{jk_l} \right) + \frac{b}{r^2};$$

$$a = \frac{3R}{2jk_l R} e^{-jk_l R}; \quad b = \frac{R^3}{2} \left[1 - \frac{3}{jk_l R} - \frac{3}{k_l^2 R^2} \right].$$

Из (7) и (8) нетрудно получить выражения для составляющих поля скоростей среды вокруг колеблющегося шара в сферической системе координат:

$$U_r = e^{-j\omega t} \left\{ 2a \frac{e^{jk_l r}}{r^3} \left(r - \frac{1}{jk_l} \right) + \frac{2b}{r^3} \right\} U_0 \cos \Theta;$$

$$U_\Theta = e^{-j\omega t} \left\{ \left(-\frac{jk_l}{r} \cdot e^{jk_l r} + \frac{e^{jk_l r}}{r^2} - \frac{e^{jk_l r}}{jk_l r^3} \right) a + \frac{b}{r^3} \right\} U_0 \sin \Theta.$$

Выражения (9) с точностью до малых величин порядка $\left(\frac{k_l}{k_t} \right)$ совпадают с решением, описываемым формулами (5) при $\omega \rightarrow 0$ переходят в формулы Стокса (1).

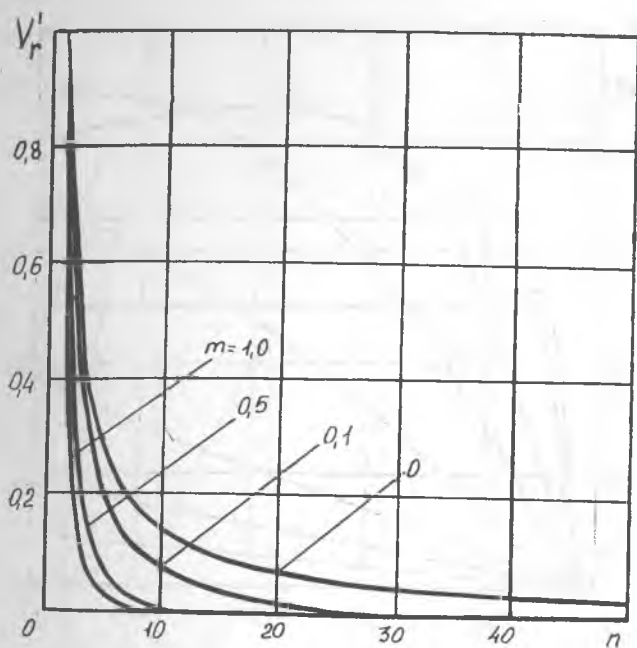


Рис. 1а. Зависимость радиальной компоненты скорости обтекания от расстояния до центра частицы

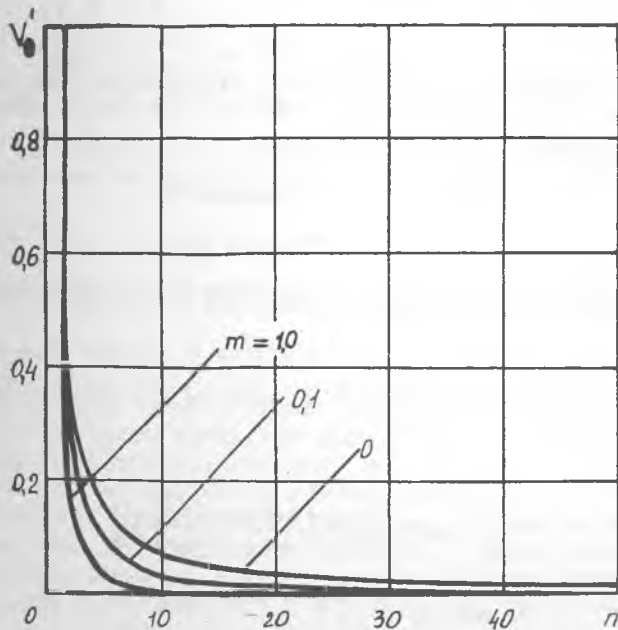


Рис. 1б. Зависимость тангенциальной компоненты скорости от расстояния до центра частицы

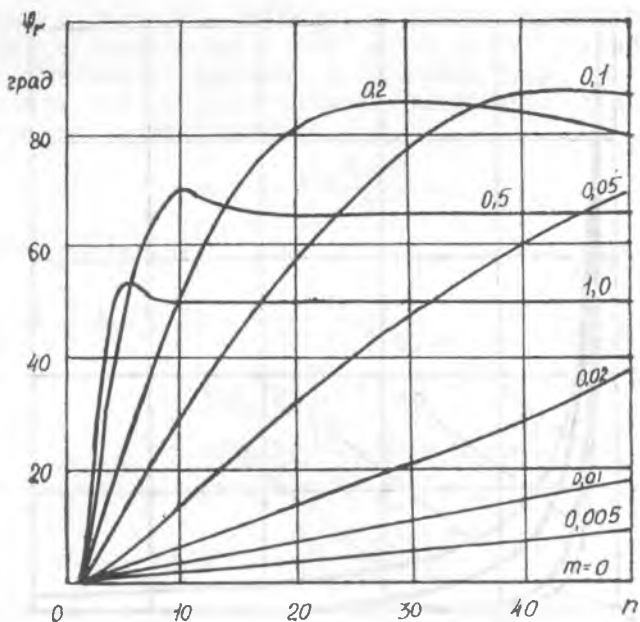


Рис. 2а. Зависимость фазового сдвига радиальной компоненты скорости обтекания от расстояния до центра частицы

Для количественного определения влияния частоты колебания на характер поля обтекания выражения (9) были преобразованы и представлены в следующем виде:

$$U_r = e^{-j(\omega t - \varphi)} U_0 V_r' \cos \theta;$$

$$U_\theta = e^{-j(\omega t - \psi)} U_0 V_\theta' \sin \theta;$$

где

$$V_r' = D \sqrt{(A^2 + 1)e^{-2\alpha} + 2e^{-\alpha} [(BA - C)\sin \alpha - (B + AC)\cos \alpha] B^2 + C^2}$$

$$V_\theta' = \frac{D}{2} \sqrt{(A^2 + E^2)e^{-2\alpha} + 2e^{-\alpha} [(AB - CE)\sin \alpha - (AC + BE)\cos \alpha] + B^2 + C^2}$$

$$\varphi_r = \arctg \frac{C - [A \cdot \cos \alpha + \sin \alpha] e^{-\alpha}}{B + [A \cdot \sin \alpha - \cos \alpha] e^{-\alpha}};$$

$$\varphi_\theta = \arctg \frac{C - [E \sin \alpha + A \cdot \cos \alpha] e^{-\alpha}}{B + [A \cdot \sin \alpha - \cos \alpha] e^{-\alpha}};$$

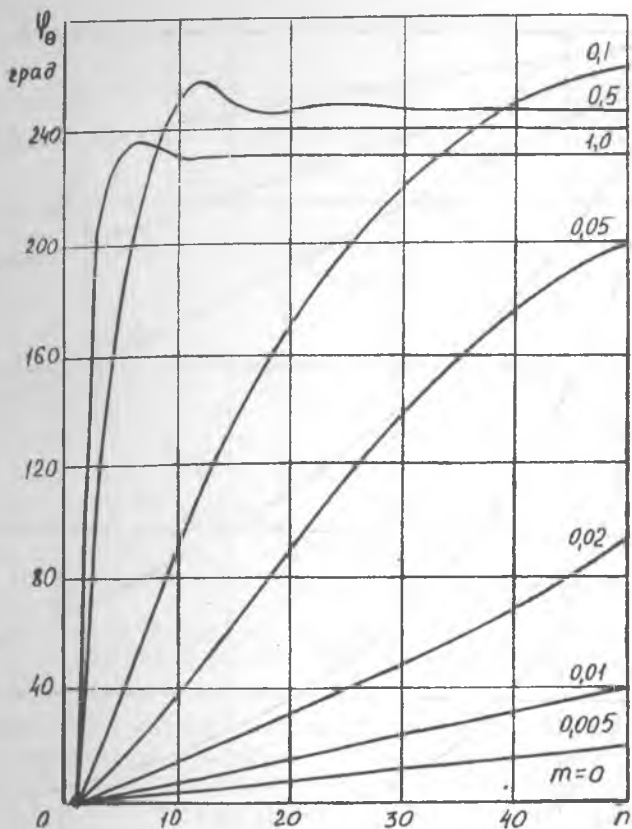


Рис. 26. Зависимость фазового сдвига тангенциальной компоненты скорости обтекания от расстояния до центра частицы

$$1 + \frac{1}{nm}; \quad B = \frac{1}{n} \left(\frac{2}{3}m + 1 \right); \quad C = \frac{1}{n} \left(1 + \frac{1}{m} \right); \quad D = \frac{3}{2} \frac{1}{n^2 m};$$

$$E = 1 + 2mn; \quad \alpha = m(n - 1); \quad m = k_0 R; \quad n = \frac{r}{R}.$$

формулам (10) и (11) были произведены расчеты на ЭВМ «Олимп» в широком интервале значений m и n . Результаты расчетов в виде графиков представлены на рис. 1 и 2. Из их анализа следует, что при постоянном n с повышением частоты радиальная и тангенциальная составляющие скорости обтекания быстро падают, что означает уменьшение размеров области возмущения вокруг частицы. Функции $\varphi(n, m)$ и $\psi(n, m)$ при малых m монотонно растут с увеличением n . При больших m фазовые сдвиги уменьшаются с увеличением n значительно быстрее, при неко-

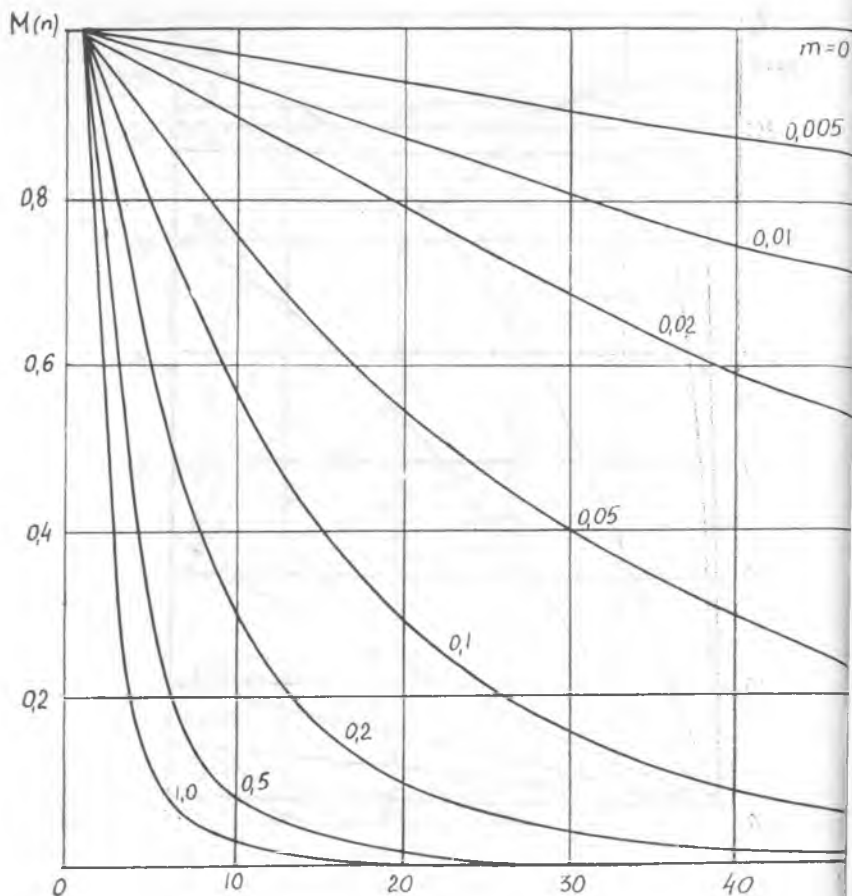


Рис. 3. Зависимость нормированной радиальной компоненты скорости обтекания от расстояния до центра частицы

торых значениях n достигают максимума и в дальнейшем изменяются.

При расчетах по взаимодействию частиц использование графиков зависимостей $V_r'(n)$ и $V_\theta'(n)$ оказывается неудобным. произведено нормирование функций $V_r'(n)$ и $V_\theta'(n)$ путем деления их на функции $V_r(n)$ и $V_\theta(n)$ соответственно. Семейство нормированных радиальной $M(n)$ и тангенциальной $Y(n)$ компонент скорости обтекания для различных m представлено на рис. 3 и 4. Для каждого значения m эти графики можно аппроксимировать полиномами различной степени и затем представить компоненты скорости обтекания в виде произведения стационарных компонент V_r и V_θ на соответствующие полиномы.

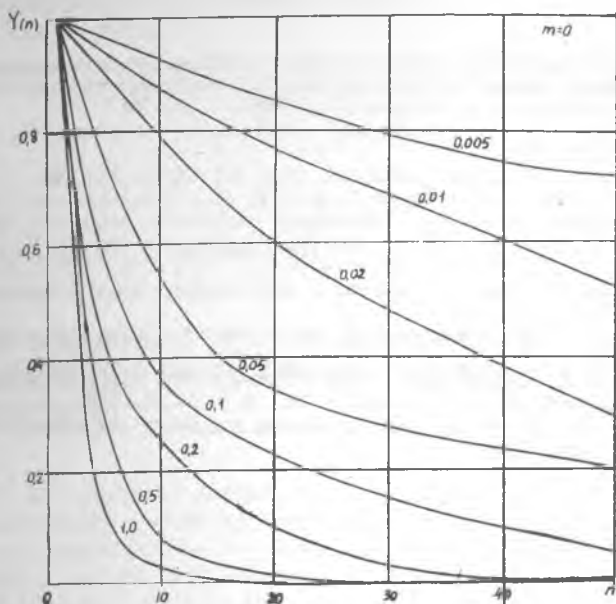


Рис. 4. Зависимость нормированной тангенциальной компоненты от расстояния до центра частицы

В заключение отметим следующее. Пренебрежение нестационарным характером движения колеблющихся частиц допустимо только в той области значений n , в которой $M(n)$ и $Y(n)$ незначительно отличаются от единицы. Положив $M(n) = Y(n) = 0,7$, с помощью графиков рис. 3 и 4 получим граничные значения $n_{гр}$, при которых можно рассчитывать поле скоростей обтекания по формулам (1). Значения $n_{гр}$ приведены в таблице 2.

Таблица 2

m	0,005	0,01	0,02	0,05	0,1	0,2	0,5	1,0
$n_{гр}$ $M = 0,7$	30,7	16	9,8	4,8	3,2	2,0	1,6	1,3
$n_{гр}$ $Y = 0,7$	8,0	4,7	2,3	1,8	1,5	1,3	1,2	1,1

ВЫВОДЫ

Проведены расчеты полей обтекания вокруг колеблющихся частиц.

Определены границы области, в которой допустимо использование формул (1) для расчета нестационарных полей обтекания.

ЛИТЕРАТУРА

1. Верещагин И. П. Уравнение движения шарообразных частиц в потоке воздуха при малых числах Рейнольдса. Сб. «Сильные электрические поля в биологических процессах», изд. «Энергия», М. 1969 стр. 60—79.
2. Медников Е. П. Акустическая коагуляция и осаждение аэрозолей. Изд. АН СССР, М., 1963.
3. Фукс Н. А. Механика аэрозолей. Изд. АН СССР, М., 1955.
4. Подольский А. А., Турубаров В. И. О зависимости степени седиментации аэрозольных частиц от амплитуды звукового поля при числах Рейнольдса $0,5 \leq Re_i \leq 1$. Труды ЛИАП, вып. 45, Л., 1965, стр. 60—63.
5. Дианов Д. Б., Подольский А. А., Турубаров В. И. Кольцевое движение аэрозольных частиц в акустическом поле. Коллоидный журнал, т. 29, вып. 1, 1967, стр. 69—74.
6. Ландау Л. Д., Лифшиц Е. М. Механика сплошных сред, ГИИТ, М., 1953.
7. Epstein P. S., Carhart R. R. The absorption of sound in suspension emulsions. I. Acoust. Soc. Amer, 1953, v 25, № 3, p 553—565.
8. Коненков Ю. К. О волнах в вязкой жидкости. Акустический Журнал, вып. 3, 1962, стр. 320—324